

ارزیابی تغییرات مکانی- زمانی تبادل خالص CO_2 در بومسازگان زمینی غرب آسیا و اطراف دریای مدیترانه (۱۹۸۲-۲۰۱۹)

منا ضرغامی پور^۱ و حسین ملکوتی^{۲*}

^۱ دانشجوی دکتری هواشناسی، گروه علوم جوی و اقیانوسی (غیر زیستی)، دانشکده علوم و فنون دریایی، دانشگاه هرمزگان، ایران

^۲ استاد، گروه علوم جوی و اقیانوسی (غیر زیستی)، دانشکده علوم و فنون دریایی، دانشگاه هرمزگان، ایران

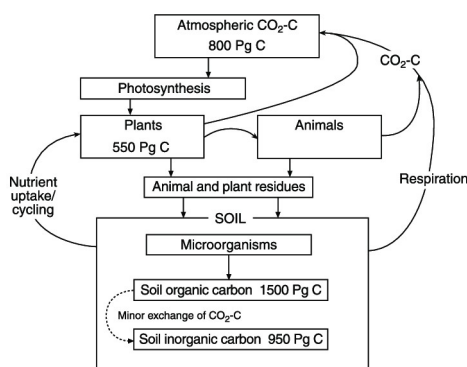
(دریافت: ۱۴۰۱/۰۵/۰۳، پذیرش: ۱۴۰۱/۰۸/۱۵)

چکیده

بومسازگان (اکوسیستم) زمینی نقش مهمی را در چرخه کربن ایفا می‌کند، و هر ساله، بیش از یک چهارم از گسیل کربن انسانی را جذب می‌کنند که به آن چاهه کربن زمینی می‌گویند. در چند دهه گذشته، در اثر توسعه فعالیت‌های اقتصادی و رشد شهرنشینی در جهان، تغییرات شدیدی در کاربری زمین رخ داده است که منجر به تغییراتی در چشمۀ منابع و چاهه کربن جهانی شده است. در پژوهش حاضر با به کارگیری داده‌های شار جوّ- خشکی CO_2 مبتنی بر مشاهدات مؤسسه Jena CarboScope و داده‌های دما و بارش، به بررسی الگوی فصلی، و سالانه تبادلات طبیعی CO_2 و همبستگی نوسانات بزرگ مقیاس جوی- اقیانوسی با تغییرپذیری شار طبیعی CO_2 در غرب آسیا و نواحی اطراف مدیترانه در طول دوره ۱۹۸۲- ۲۰۱۹ پرداخته شده است. نتایج نشان می‌دهد که به صورت متوسط سالانه، مناطق خشکی شمال دریای مدیترانه (قسمت‌های غربی هند) چاهه با جذب تا مقدار $(\text{g.C}/(\text{m}^2 \cdot \text{year}))$ ۵-۱۱۴ در طول دوره مورد مطالعه، کاهش (افزایش) یافته است. همچنین نواحی مرکزی (شامل ایران، عربستان و قسمت‌های شمالی آفریقا)، شمال شرقی (شامل افغانستان، ترکمنستان و تاجیکستان) و جنوب غربی (شامل نواحی مرکزی آفریقا) منطقه مورد مطالعه که به صورت متوسط سالانه، چشمۀ CO_2 $(\text{g.C}/(\text{m}^2 \cdot \text{year}))$ ۱۰-۵۰ است هستند و با روندی تا مقدار $(\text{g.C}/(\text{m}^2 \cdot \text{year}))$ ۵۰-۷۰ از شدت گسیل CO_2 در این نواحی کاسته شده است. بر اساس نتایج، در نواحی خشکی شمال دریای مدیترانه، ترکمنستان، تاجیکستان و نواحی حاشیه دریای خزر در ایران (قسمت‌های غربی هند، غرب ایران و نواحی مرکزی آفریقا) در منطقه مورد مطالعه، تغییرات فصلی دما (بارندگی) نقش مهم‌تری در چرخه فصلی تبادلات طبیعی CO_2 بین جوّ و بومسازگان زمینی دارد.

واژه‌های کلیدی: شار جوّ- خشکی CO_2 ، نوسانات بزرگ مقیاس جوی- اقیانوسی، بارندگی، دما، روند

می‌توان به ویژگی‌های فیزیکی سطح برگ، طول مدت فصل برگ‌دهی، غلظت آلاینده‌ها، تابش خورشیدی، دما، تلاطم، سرعت باد، اندازه ذرات و مشخصه‌های زیستی از جمله فعالیت زیستی گیاه، مقاومت استواماتال و شاخص سطح برگ اشاره کرد (سهمل، ۱۹۸۰ و جانه، ۲۰۱۵). گیاهان طی عمل فتوسنتز و انتقال رطوبت به سطح برگ قادرند انواع گازها و ذرات معلق جو را با روزنه‌های برگ (استمامات) جذب کنند (نواك و همکاران، ۲۰۱۴). شایان ذکر است میزان فعالیت زیست‌شناختی گیاه به میزان دسترسی گیاه به رطوبت خاک بستگی دارد. در بوم‌سازگان‌های زمینی، جریان CO_2 خاک، شار عمدۀ کربن به جو درنظر گرفته‌می‌شود و ازین رو یک جزء مهم در تعادل جهانی کربن است (شیمل، ۱۹۹۵ و جانسون و لیز، ۲۰۱۴). در مقیاس جهانی، شار CO_2 خاک بیشتر با دمای خاک کنترل می‌شود (ریچ و چلسینگر، ۱۹۹۲ و ریچ و پاتر، ۱۹۹۵). چرخه کربن زمینی در شکل ۱ نمایش داده شده است.



شکل ۱. چرخه کربن زمینی (فولت و همکاران، ۲۰۱۱).

مطالعات زیادی درباره تبادل CO_2 بین جو و بوم‌سازگان زمینی در نقاط مختلف جهان صورت گرفته است. پژوهش‌های جهانی (فریدلینگستین و همکاران، ۲۰۱۰؛ لیو و همکاران، ۲۰۲۱ و چاندرا و همکاران، ۲۰۲۱)، بیانگر غالب‌ترین چاهه کربن زمین در نیمکره

۱ مقدمه

میانگین سطحی غلظت دی‌اکسید کربن (CO_2) در جو از حدود ۲۷۷ ppm در سال ۱۷۵۰ (جوز و اسپنی، ۲۰۰۸) که آغاز عصر صنعتی است، به $0.1 \text{ ppm} \pm 0.9/85 \pm 0.1$ در سال ۲۰۱۹ افزایش یافته است (دلوغوکنسی و تانز، ۲۰۲۰). احتراق سوخت‌های فسیلی، تغییر کاربری زمین و تولید سیمان مهم‌ترین دلایل افزایش غلظت CO_2 هستند (کیاز و همکاران، ۲۰۱۳). نرخ رشد غلظت CO_2 جو از $5/1 \pm 1/8 \pm 0.07 \text{ GtC/yr}$ در طول دوره ۱۹۶۰–۲۰۱۹ افزایش یافته است. اقیانوس‌ها و بوم‌سازگان‌های زمینی چاهه‌های در خور توجهی از CO_2 جوی هستند و نیمی از غلظت جوی آن را جذب می‌کنند؛ بنابراین تقریباً نیمی از غلظت آن در جو باقی می‌ماند و به تغییر اقلیم منجر می‌شود (فریدلینگستین و همکاران، ۲۰۲۰). به همین دلیل است که نظرات، در ک و پیش‌بینی تکامل چاهه CO_2 بسیار مهم است تا بدانیم تغییرات آب‌وهوای با چه سرعتی و با چه میزانی رخ خواهد داد. چاهه اقیانوسی CO_2 از $1 \pm 2/5 \pm 0.3 \text{ GtC/yr}$ در دوره ۱۹۶۰–۲۰۱۹ افزایش یافته است. همچنین چاهه زمینی CO_2 از $3/4 \pm 0.4 \text{ GtC/yr}$ در دوره ۱۹۶۰ به 0.9 GtC/yr در طول دوره ۲۰۱۰–۲۰۱۹ با تغییرات سالانه تا مقدار 2 GtC/yr یافته است (فریدلینگستین و همکاران، ۲۰۲۰).

فعالیت‌های انسانی مانند استفاده از زمین، تغییر کاربری زمین و فعالیت‌های جنگل‌داری (LULUCF) بر چاهه‌های زمینی تأثیر می‌گذارند؛ در نتیجه، تبادل CO_2 (چرخه کربن) بین سامانه زیست‌کره زمینی و جو تغییر می‌کند (یوانافسی‌سی‌سی، ۲۰۱۹). جنگل‌ها و به‌طور کلی، گیاهان، گازهای مختلفی را بین خود و جو مبدله می‌کنند. از مهم‌ترین عوامل تأثیرگذار بر فرایند نهشت خشک

تبادلات زمینی CO_2 در مناطق مختلف از جمله اوراسیای شمالی (راولینز و همکاران، ۲۰۱۵)، برزیل (منذر و همکاران، ۲۰۲۰) و چین (هی و همکاران، ۲۰۲۲) و نقش تغییرات کاربری اراضی بر شار جوّ- خشکی CO_2 در جنوب شرقی آسیا (کوندو و همکاران، ۲۰۲۲) بررسی شده است.

پاسخ‌های منطقه‌ای به واداشت‌های اقلیمی به دلیل انتشار گازهای گلخانه‌ای انسانی خطی یا یکنواخت نیستند. به دلیل سازوکارهای بازخورد اقلیم خاص جغرافیایی، برخی از مناطق با سرعت بیشتری نسبت به میانگین جهانی گرم می‌شوند. یکی از این نقاط داغ تغییرات اقلیمی، منطقه مدیترانه شرقی و غرب آسیا است (کرامر و همکاران، ۲۰۱۸؛ لیلولد و همکاران، ۲۰۱۲؛ زیتیس و هدجینیکولائو، ۲۰۱۷ و زیتیس و همکاران، ۲۰۱۹). این مناطق مستعد نابرابری‌های اجتماعی شدید هستند و احتمال دارد افراد کم درآمد، بیشترین آسیب را از تأثیرات تغییرات اقلیمی از جمله گرمای شدید و کمبود منابع آب بیینند (واها و همکاران، ۲۰۱۷). بسته به تغییرات آینده غلظت گازهای گلخانه‌ای که متأثر از تحولات اجتماعی، اقتصادی و فناوری است، پیش‌بینی می‌شود روند گرمایش مشاهده شده در طول قرن بیست و یکم ادامه یابد و تشدید شود (آی‌بی‌سی‌سی، ۲۰۲۱ و زیتیس و همکاران، ۲۰۱۹). تقریباً همه بخش‌های اجتماعی- اقتصادی، تحت تأثیر تغییرات پیش‌بینی شده شدید آبوهوایی قرار خواهند گرفت. سلامت و رفاه انسان‌ها بهویژه افراد محروم، سالمدان، کودکان و زنان باردار به طور مستقیم تحت تأثیر این تغییرات است. بزرگی تغییرات اقلیمی و تأثیرات آن در نیمه دوم قرن و پس از آن، بهشدت به ستاریوهای انتشار گازهای گلخانه‌ای بستگی دارد. این موضوع ضرورت مطالعه و تلاش جهت کاهش گسیل این گازها را تأیید می‌کند (زیتیس و همکاران، ۲۰۲۲).

فهم تغییرپذیری مکانی- زمانی در تبادلات خالص

شمالی در آمریکای شمالی $-0/59 \pm 0/14 \text{ PgC/yr}$ ، شرق آسیا $-0/49 \pm 0/09 \text{ PgC/yr}$ ، شمال آمریکای شمالی $-0/35 \pm 0/10 \text{ PgC/yr}$ و روسیه $0/05 \text{ PgC/yr}$ برای ۲۰۰۱-۲۰۲۰ است که روی هم رفته، ۷۰٪ از کل جذب CO_2 جهانی بازیست کرده خشکی را تشکیل می‌دهند (چاندرا و همکاران، ۲۰۲۱).

پس از دما، رطوبت موجود در خاک، دومین عاملی است که تأثیر زیادی بر شار CO_2 خاک دارد (جانسنس و همکاران، ۲۰۰۳ و لاویگن و همکاران، ۲۰۰۴). همچنین نوسانات بزرگ‌مقیاس جوّی- اقیانوسی به طرز چشمگیری بر تغییرات سطح پوشش گیاهی در اثر تغییرات دما و بارش منطقه‌ای و پوشش ابر تأثیر می‌گذارند (ژو و همکاران، ۲۰۱۷). پولتر و همکاران (۲۰۱۴)، کلیورلی و همکاران (۲۰۱۶) و ما و همکاران (۲۰۱۶) اهمیت بی‌هنگاری بارندگی را در تغییرپذیری چاهه کربن زمینی با داده‌های مشاهداتی سال ۲۰۱۱ بررسی کردند و محتمل ترین علت رفتار شار CO_2 را گسترش پوشش گیاهی نیمه‌خشک در نیمکره جنوبی، بهویژه در ساوانای استرالیا تشخیص دادند که با یک بی‌هنگاری بارندگی جهانی بین سال‌های ۲۰۱۰ و ۲۰۱۱ ناشی از تداوم یک رویداد قوی لایینا مرتبط بود (پولتر و همکاران، ۲۰۱۴).

نتایج مطالعات جهانی فریدلینگستین و همکاران (۲۰۲۰) درباره تغییرات سالانه چاهه زمینی، در طول دوره ۲۰۱۹- ۲۰۱۰ بیشتر نشان‌دهنده کاهش چاهه زمینی در شرایط الینو است. این موضوع باعث نرخ افزایشی غلظت CO_2 جوّی در شرایط الینو است.

پژوهش‌ها نشان داده‌اند که بومسازگان‌های نیمه‌خشک سهم مهمی در چاهه کربن جهانی دارند و اثر چشمگیری بر تغییرپذیری سالانه و روند چرخه کربن زمینی جهانی می‌توانند داشته باشند (پولتر و همکاران، ۲۰۱۴ و اهلسترم و همکاران، ۲۰۱۵). گفتنی است تغییرات مکانی و زمانی

دریای مدیترانه است. این ناحیه شامل انواع مناطق اقلیمی از بیابانی و نیمه خشک تا نیمه گرمسیری و معتدل است (بلدا و همکاران، ۲۰۱۴ و لیولد و همکاران، ۲۰۱۶). با تابستان‌های گرم تا گرم و خشک، خشکسالی‌های گاه به گاه و زمستان‌های معتدل و به نسبت مرطوب، آب‌وهای شمال منطقه مورد مطالعه بیشتر معتدل است (لیونلو و همکاران، ۲۰۰۶). این منطقه تقریباً دو برابر سریع‌تر از میانگین جهانی و سریع‌تر از سایر مناطق مسکونی جهان در حال گرم شدن است. در طول قرن‌های گذشته، تغییرپذیری بارندگی در این منطقه زیاد و همراه با نوسانات شدید بین دوره‌های خشک‌تر و مرطوب‌تر بوده است (زیتس و همکاران، ۲۰۲۲).

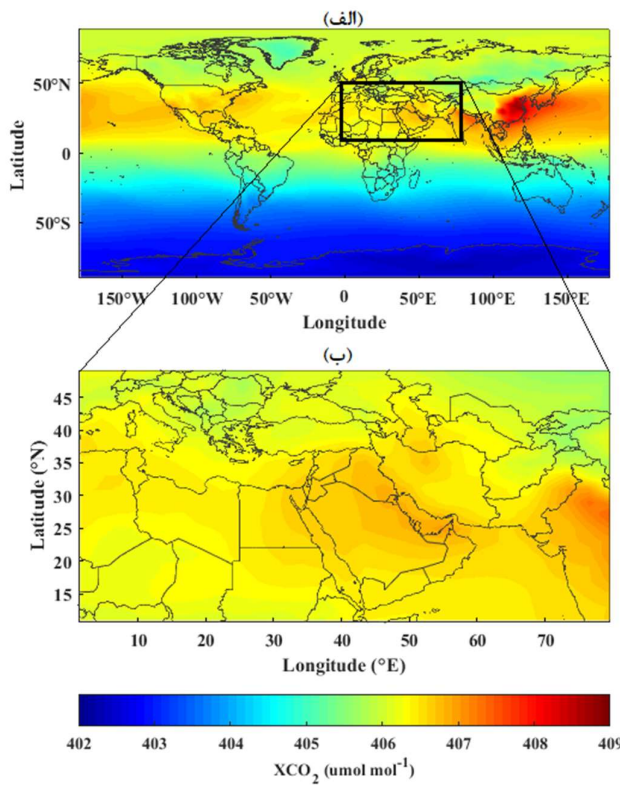
اصلی‌ترین ویژگی بوم‌شناختی غرب آسیا و شمال آفریقا، گستردگی مناطق خشک اعم از بیابانی و نیمه بیابانی بدون پوشش گیاهی یا با پوشش گیاهی کم است. پوشش ناحیه جنوب غربی (عرض‌های بین ۱۰ تا ۱۵ درجه) منطقه مورد مطالعه در آفریقا، علفزار و در مناطق شمالی آفریقا، زمین بایر است (ارگیازی و همکاران، ۲۰۱۶). نواحی غرب آسیا مناطق کوهستانی گستردگی دارد و بیشتر مناطق جنگلی محدود به این نواحی هستند. نسبت جنگل‌ها و اراضی بیشهزار این منطقه کمتر از یک‌سوم متوسط جهان است، اگرچه مراتع دائمی آن، ۴۲ درصد مساحت خشکی را تشکیل می‌دهند که بسیار بیشتر از متوسط جهانی است. از ۲۷/۴ میلیون هکتار جنگل موجود در غرب آسیا، پنج کشور، ۸۸ درصد آن را تشکیل می‌دهند (ترکیه ۳۸ درصد، ایران ۳۵ درصد، عربستان سعودی ۹ درصد، افغانستان ۳ درصد و عراق ۳ درصد). غرب آسیا بیشهزارهایی با مساحت ۵۴/۲ میلیون هکتار یا به عبارتی، دو برابر پهنه جنگل‌ها دارد که ۷ درصد کل زمین‌های بیشهزار جهان را تشکیل می‌دهد. عربستان سعودی با ۶۳ درصد از کل، بیشترین میزان بیشهزار را در غرب آسیا دارد (www.fao.org/forestry).

بوم‌سازگان و سازوکارهای کنترلی آن برای برآورد توان آسیب پذیری بودجه کربن زمینی و کمی کردن ظرفیت بوم‌سازگان برای ذخیره کربن در شرایط اقلیمی آینده ضروری است (هیمن و ریچستین، ۲۰۰۸). علاوه بر این، کمی کردن تغییرات سالانه تبادلات خالص بوم‌سازگان، پیش‌نیازی برای تعیین روندهای طولانی مدت یا شب تغییرات دامنه شارها در پاسخ به تغییر اقلیم یا تغییرات انسان‌ساخت و مشخص کردن حرکت‌های آن است (کوکس و همکاران، ۲۰۰۰ و لامبردزی و همکاران، ۲۰۱۴).

با توجه به تغییر اقلیم و تغییر مداوم کاربری اراضی، ضروری است که تغییرات موجود در تبادلات CO₂ بین جو و بوم‌سازگان زمینی بررسی شود. هدف این پژوهش برآورد الگوی مکانی و زمانی تبادلات خالص CO₂ بوم‌سازگان زمینی و تحلیل روند تغییرات آن در قسمت‌های غربی آسیا و نواحی اطراف دریای مدیترانه است. علاوه بر آن، به دلیل اهمیت نقش متغیرهای اقلیمی مانند دما و بارش در الگوی مکانی و زمانی تبادلات جو-خشکی CO₂، این موضوع نیز بررسی خواهد شد. همچنین در این پژوهش با نظر به تأثیر نوسانات بزرگ مقیاس جوی-اقیانوسی بر متغیرهای اقلیمی نظیر دما و بارش، به بررسی ارتباط و همبستگی نوسانات بزرگ مقیاس جوی-اقیانوسی انتخابی و تغییرات شار جو-خشکی CO₂ در منطقه یادشده پرداخته خواهد شد.

۲ مروری بر منطقه مورد مطالعه

منطقه مورد مطالعه در این پژوهش، غرب آسیا و نواحی اطراف مدیترانه در محدوده ۱۰ تا ۵۰ درجه شمالی و ۰ تا ۸۰ درجه شرقی است. این منطقه که پهنه‌های آبی متنوعی دارد و درصد خشکی آن نیز زیاد است، شامل هشت حوضه آبی اصلی دریای اژه، دریای سیاه، دریای خزر، خلیج فارس، دریای عرب، خلیج عدن، دریای سرخ و



شکل ۲. (الف) میانگین سالیانه توزیع کسر مولی CO_2 در ستون جوّ (xCO₂) در جهان و (ب) غرب آسیا و نواحی اطراف دریای مدیترانه در سال ۲۰۱۸ با استفاده از داده‌های NOAA's CarbonTracker, version CT2019B (جاكوبسون و همکاران، ۲۰۲۰).

مدیترانه (شکل ۲-ب) در سال ۲۰۱۸ نشان‌دهنده غلظت زیاد CO₂ در عرض‌های میانی نیمکره شمالی است. بیشترین مقادیر غلظت CO₂ در شرق آسیا روی چین با مقدار mol μmol/mol ۴۰۸/۷۳ است. در سال ۲۰۱۸، کسر مولی متوسط سالانه CO₂ در منطقه مورد مطالعه مقادیری بین ۴۰۵/۵۴ تا ۴۰۷/۳۸ میکرومول بر مول دارد. بر اساس اطلاس کربن جهانی، کشورهایی که در منطقه مورد مطالعه قرار گرفته‌اند؛ مانند هند (۲۶۱۶ MTCO₂)، ایران (۲۷۸۰ MTCO₂)، عربستان سعودی (۵۸۲ MTCO₂)، ترکیه (۴۰۵ MTCO₂) و ایتالیا (۳۳۷ MTCO₂) جزو بیست کشوری هستند که بیشترین میزان گسل CO₂ حاصل از سوخت‌های فسیلی منطقه را در سال ۲۰۱۹ داشته‌اند (گیلفیلان و همکاران، ۲۰۱۹؛ یوان‌اف‌سی‌سی‌سی، ۲۰۱۹)

سابقه طولانی استقرار بشر و افزایش شهرنشینی سبب تخریب جدی منابع زمین و جنگل در بیشتر نواحی این منطقه شده است (ما، ۲۰۰۸).

انتشار گازهای گلخانه‌ای در غرب آسیا و کشورهای شرقی مدیترانه طی دهه‌های گذشته شش برابر شده است. امروزه می‌توان انتشار گازهای گلخانه‌ای در این مناطق را با انتشار آن در اتحادیه اروپا و هند مقایسه کرد. این منطقه بهزودی به یکی از انتشاردهندهای گاز گلخانه‌ای غالب در جهان تبدیل خواهد شد (زیتیس و همکاران، ۲۰۲۲). متوسط سالیانه توزیع میانگین کسر مولی CO₂ (xCO₂) در ستون جوّ حاصل از داده‌های NOAA's CarbonTracker, version CT2019B (جاكوبسون و همکاران، ۲۰۲۰) در جهان (شکل ۲-الف) و غرب آسیا و نواحی اطراف

بی‌پی، ۲۰۱۹.

فرض می‌شود توزیع احتمال همه خطاهای، از نوع گاوی فرض می‌شود توزیع احتمال همه خطاهای، از نوع گاوی
 (Q_c) با میانگین صفر و یک ماتریس هم‌واردایی معین
 باشد:

$$Q_c = \langle \delta c \delta c^t \rangle = \langle \Delta c_{meas} \Delta c_{meas}^t \rangle + (\Delta c_{mod} \Delta c_{mod}^t) \quad (3)$$

محتمل ترین شارهای شارهایی هستند که تابع هزینه (X_c^2) آنها کمترین مقدار باشد (گاوی، ۲۰۱۴). برای جزئیات بیشتر به رودنیک و همکاران (۲۰۰۳) مراجعه شود.

$$X_c^2 = \delta c^T Q_c^{-1} \delta c \quad (4)$$

نتایج شامل تغییرات روزانه با تفکیک افقی $\times 2/5^\circ$ عرض جغرافیایی \times طول جغرافیایی) است. گفتنی است که این تبادلات طبیعی هستند و گسیل انسان ساخت در تبادلات سطحی منظور نشده است.

جهت تعیین اثر دما و بارندگی بر شار جوّ-خشکی CO_2 برای دوره ۱۹۸۲ تا ۲۰۱۹، از داده‌های دمای هوا $GHCN_CAMS$ و بارندگی GPCC با تفکیک مکانی به ترتیب $0/5^\circ \times 0/5^\circ$ و $1^\circ \times 1^\circ$ متعلق به وبگاه استفاده شده است. <https://psl.noaa.gov>

۲-۲ ارتباط تغییرپذیری سالانه شار CO_2 و

الگوهای دوربیوند ENSO، IOD و NAO

الگوهای دوربیوند (نوسانات بزرگ مقیاس جوّی-اقیانوسی) به نحو چشمگیری بر تغییرات سطح پوشش گیاهی در اثر تغییرات دما و بارش منطقه‌ای و پوشش ابر تأثیر می‌گذارند (ژو و همکاران، ۲۰۱۷). شاخص‌های متفاوتی برای اشاره به الگوهای دوربیوند تعریف شده است. شاخص MEI.v2، شاخص چندمتغیره ماهانه الینو/نوسانات جنوبی (ENSO) حاصل از عملکرد برتر تابع Empirical Orthogonal Function، (EOF) است که ترکیبی از پنج متغیر در حوضه حرارتی اقیانوس آرام $30^\circ S - 30^\circ N$ و $-100^\circ E$ است. این متغیرها شامل فشار سطح دریا، دمای

۲ مواد و روش‌ها

۱-۲ داده‌های مورد استفاده

در این پژوهش جهت بررسی تغییرات مکانی و زمانی شار خشکی-جوّ CO_2 در غرب آسیا در طول دوره ۲۰۱۹-۱۹۸۲ از داده‌های مبتنی بر مشاهدات مؤسسه Jena CarboScope استفاده شده است. این شارها به روش معکوس از داده‌های اندازه‌گیری غلظت CO_2 جوّی و مدل انتقال جوّی (TM3) به دست آمده‌اند. مقادیر غلظت CO_2 در مکان‌ها و زمان‌های مختلف به‌طور خلاصه با بردار c_{meas} نشان داده می‌شود. برای ارتباط دادن این غلظت‌های جوّی اندازه‌گیری شده به شارهای سطحی مورد نظر، به اطلاعاتی درباره انتقال ترکیب جوّی نیاز است. این اطلاعات از شبیه‌سازی با مدل TM3 به دست می‌آید که از ورودی داده‌های هواشناسی از یک مرکز پیش‌بینی آب‌وهوا جهانی استفاده می‌کند. برای یک شار معین f_0 در ابتدای دوره شبیه‌سازی، بردار غلظت مدل شده به صورت زیر است:

$$c_{mod} = Af + ac_0 \quad (1)$$

ماتریس انتقال A با مدل انتقال جوّی جهانی برونو خط (آفلاین) TM3 محاسبه می‌شود (هیمان، ۱۹۹۶). هر عنصر ماتریس A برابر $\partial C_{st} / \partial f_{ijt'}$ است که ∂C_{st} ، پاسخ غلظت در مکان s در ماه t ناشی از یک پالس گسیل (i,j) ترکیب فرضی $\partial f_{ijt'}$ از بعضی سطوح سلول شبکه (j,i) در طول ماه‌های دیگر یعنی t' است. همه عناصر بردار a برابر با ۱ هستند که بیانگر آمیختگی کامل در جوّ است. تفاوت δc بین غلظت‌های اندازه‌گیری شده و مدل شده با جمع خطاهای اندازه‌گیری (Δc_{meas}) و خطاهای مدل (Δc_{mod}) مشخص می‌شود:

$$\delta c = c_{meas} - c_{mod} = \Delta c_{meas} + \Delta c_{mod} \quad (2)$$

از یک الگوی فضایی (EOF) و یک سری زمانی مؤلفه اصلی تشکیل شده است که نشان دهنده تکامل زمانی EOF است. یک مدل را می‌توان با ضرب EOF (فضا) در PC (زمان) آن بازسازی کرد. در هر زمان معین، مدهای مختلف را می‌توان برای ایجاد یک تصویر کلی از بی‌亨جارتی‌های شار CO_2 در آن زمان جمع کرد. PC1 اولین مدل تغییرپذیری مربوط به EOF1 است که بیشترین درصد وردایی (واریانس) را توضیح می‌دهد (گرین و همکاران، ۲۰۱۹). مشخصات داده‌ها در جدول ۱ آورده شده است. در این مطالعه تمام داده‌ها روی شبکه هستند. در این مطالعه تمام داده‌ها روی شبکه $0/5^\circ \times 0/5^\circ$ به روش درونیابی دوخطی یکپارچه شده است.

سطح دریا، مؤلفه‌های نصف‌النهاری و مداری باد سطح و تابش طول موج بلند خروجی هستند. شاخص NAO اختلاف فشار نرمال شده بین یک استگاه در آزو و یک استگاه در ایسلند است. شدت دوقطبی اقیانوس هند (IOD) با گرادیان بی‌هنجارتی دمای سطح دریا بین ناحیه استوایی غربی اقیانوس هند ($50^\circ E - 70^\circ E$) و قسمت استوایی جنوب شرقی اقیانوس هند ($10^\circ S - 10^\circ N$) و $90^\circ E - 110^\circ E$ و $0^\circ N$ به دست می‌آید. این گرادیان شاخص مدل دوقطبی (DMI) نامیده می‌شود. هنگامی که مثبت باشد، این پدیده را IOD مثبت و هنگامی که منفی باشد، IOD منفی می‌گویند (https://www.psl.noaa.gov).

برای بررسی ارتباط الگوهای دورپیوند و تغییرات شار جو-خشکی CO_2 در غرب آسیا به تحلیل همبستگی (شامل همبستگی با تأخیر زمانی) پرداخته شده است. این همبستگی بین اولین مؤلفه اصلی (PC1) مربوط به مدل اول الگوی فضایی (EOF1) شار CO_2 برای دامنه مورد نظر و شاخص ماهانه MEI.v2، NAO و DMI انجام شده است. برای بهتر نمایان شدن تغییرپذیری CO_2 ، روند و اثر فصل از روی داده‌های شار CO_2 حذف و PCI برای دامنه مورد نظر در طول دوره ۱۹۸۲-۲۰۱۹ محاسبه شده است. نقشه‌های حالت ویژه تغییرپذیری و سری‌های زمانی مؤلفه اصلی (PC) مربوطه را برای تجزیه و تحلیل داده‌های مکانی- زمانی ارائه می‌دهد:

$$X'(y, t) \sim \sum_{m=1}^M A_m(t) F_m(y). \quad (5)$$

$X'(y, t)$ بی‌هنجارتی متغیر موردنظر در مکان y و زمان t است. $A_m(t)$ اشاره به مدهای زمانی و $F_m(y)$ اشاره به مدهای مکانی دارد و m تعداد کل مدهای موجود است (زانگ و موره، ۲۰۱۵).

این روش برای کاهش ابعاد مجموعه داده به کار می‌رود به گونه‌ای که نوسانات موجود در داده‌ها حفظ شود. هر مدل

۳-۲ خوشبندی

خوشبندی نقطه قوتی در یادگیری بدون نظارت برای تقسیم داده‌ها به گروه‌ها بر اساس برخی از تحلیل‌های شباهت است. تحلیل خوشبندی، گروه‌ها یا خوشبندی از داده‌ها را تولید می‌کند. داده‌ها در هر خوشبندی بیشترین شباهت را با هم و بیشترین تمایز را با خوشبندی دیگر دارند. از جمله روش‌های خوشبندی می‌توان به خوشبندی فازی، خوشبندی سلسله مراتبی، خوشبندی k-Means و ... اشاره کرد. در این پژوهش برای پنهان‌بندی k-Means منطقه مورد مطالعه جهت بررسی تغییرات سالانه شار CO_2 و ارتباط تغییرپذیری شار CO_2 با الگوهای دورپیوند ذکر شده در هر قسمت، از خوشبندی k-Means استفاده می‌شود. این خوشبندی یک الگوریتم تکرارشونده و تقسیم داده است. این الگوریتم هر داده را با توجه به فاصله آن تا مرکز هر خوشبندی که یکی از k خوشبندی انتخاب می‌دهد. مرکز هر خوشبندی در این پژوهش با استفاده از الگوریتم k-Means ++ محاسبه و با محاسبه میانگین اعضای هر خوشبندی، مرکز جدید هر k خوشبندی تعیین می‌شود. این گام‌ها تا زمانی تکرار می‌شوند که خوشبندی‌ها تغییر نکنند.

جدول ۱. مشخصات داده‌های استفاده شده.

منبع	تفکیک افقی (عرض × طول)		مؤسسه	داده
شار جوّ-خشکی (CO_2)				
رودنیک (۲۰۰۵)	$2/5^\circ \times 2^\circ$	Jena CarboScope	s81oc_v2021_daily	داده بارندگی
GPCC Global Precipitation Climatology Centre				
اشنایدر و همکاران (۲۰۱۱)	$1^\circ \times 1^\circ$	NOAA		داده دما
GHCN CAMS Gridded 2m Temperature (Land)				
فان و ون دن دول (۲۰۰۸)	$0/5^\circ \times 0/5^\circ$	NOAA		داده xCO_2
NOAA's CarbonTracker				
http://carbontracker.noaa.gov	$3^\circ \times 2^\circ$		CT2019B.xCO2	

کاهشی تا مقدار $\text{g.C}/(\text{m}^2 \cdot \text{year} \cdot \text{decade})$ در این نواحی افزایش یافته است. در ناحیه جنوب غربی منطقه مورد مطالعه، عرض‌های بین 10° تا 15° درجه در منطقه مورد مطالعه در آفریقا، چشمۀ CO_2 هستند و گسیل تا مقدار $\text{g.C}/(\text{m}^2 \cdot \text{year})$ 50 وجود دارد. این نواحی روندی کاهشی در گسیل CO_2 تا مقدار $\text{g.C}/(\text{m}^2 \cdot \text{year} \cdot \text{decade})$ -10 دارند. علاوه بر آن، قسمت‌های شمال شرقی منطقه مورد مطالعه شامل کشورهای افغانستان، ترکمنستان و تاجیکستان، به صورت میانگین چشمۀ CO_2 (تا 20 هستند و گسیل CO_2 از آنها روند کاهشی تا مقدار 4 $\text{g.C}/(\text{m}^2 \cdot \text{year} \cdot \text{decade})$ دارد. نواحی شمالی آفریقا، عربستان سعودی و مناطق مرکزی ایران که بیشتر از زمین بایر یا پوشش کم گیاهی تشکیل شده‌اند، چشمۀ ضعیف تر CO_2 (تا 5 $\text{g.C}/(\text{m}^2 \cdot \text{year})$) هستند. همچنین نتایج نشان‌دهنده روند کاهشی در گسیل CO_2 در نواحی مرکزی ایران تا مقدار 2 $\text{g.C}/(\text{m}^2 \cdot \text{year} \cdot \text{decade})$ است. مقادیر مثبت، شار از بوم‌سازگان زمینی به داخل جوّ را نشان می‌دهد؛ یعنی بوم‌سازگان زمینی نقش چشمۀ CO_2 را ایفا می‌کند. مقادیر

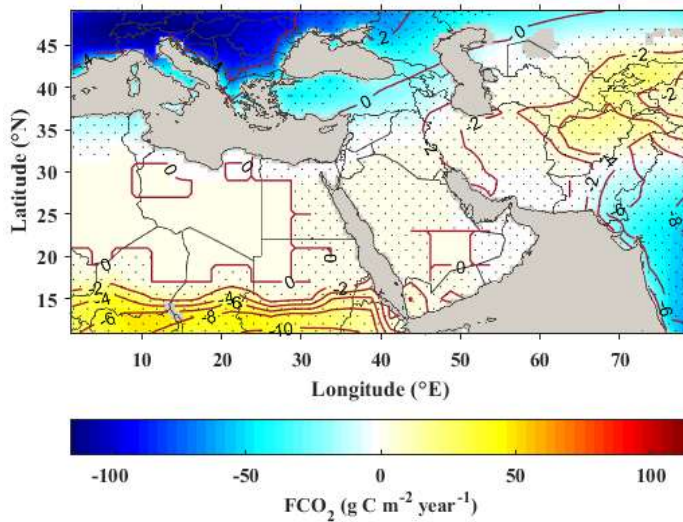
(آرتور و واسیلویتسکی، ۲۰۰۷ و لوید، ۱۹۸۲).

۳ محدودیت‌ها و چالش‌ها

اندازه‌گیری مستقیم شار CO_2 در تمام نقاط جهان امکان‌پذیر نیست و نقاط اندازه‌گیری در محل‌های محدود و نابرابر توزیع شده‌اند. روش‌های معکوس مبتنی بر مشاهدات برای تعیین شار CO_2 مفید هستند، اما لازم است این عدم قطعیت‌ها در نظر گرفته شود.

۴ نتایج

الگوی میانگین طولانی مدت $1982-2019$ شار زمین-جوّ CO_2 (شکل ۳) و توزیع مکانی روند خطی شار جوّ-خشکی CO_2 به روش حداقل مربعات در طول دوره $1982-2019$ (پربندهای قرمز در شکل ۳) بیانگر وجود چاهه قوی در نواحی خشکی شمال دریای مدیترانه (جذب تا مقدار $114 \text{ g.C}/(\text{m}^2 \cdot \text{year})$ ، با روند افزایشی تا مقدار 5 $\text{g.C}/(\text{m}^2 \cdot \text{year} \cdot \text{decade})$) است که به معنی کاهش جذب CO_2 در این نواحی است. به صورت میانگین، غرب هند چاهه CO_2 (جذب تا مقدار $-70 \text{ g.C}/(\text{m}^2 \cdot \text{year})$ است و جذب CO_2 با روند

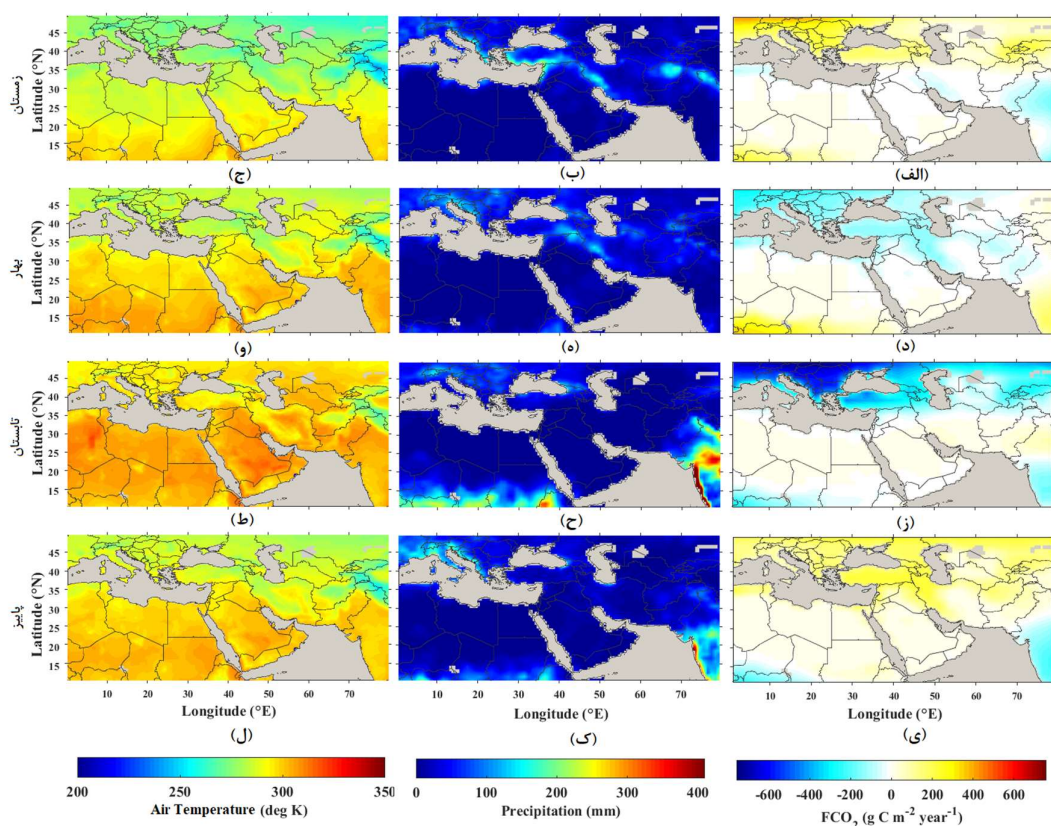


شکل ۳. میانگین بلندمدت شار جوّ- خشکی CO_2 با استفاده از داده‌های مبتنی بر مشاهدات در غرب آسیا و نواحی خشکی اطراف دریای مدیترانه (۱۹۸۲-۲۰۱۹). مقادیر منفی نشان‌دهنده چاه‌های کربن و مقادیر مثبت نشان‌دهنده گسیل کربن از سطح است. پریندهای قرمز نشان‌دهنده روند خطی دهه‌ای در شار جوّ- خشکی CO_2 در طول دوره ۱۹۸۲-۲۰۱۹ است. نواحی هاشورخورده نشان‌دهنده تقاطی است که در آن روند بازه اطمینان بیشتر از $P\text{-value} < 0.01$ درصد است.

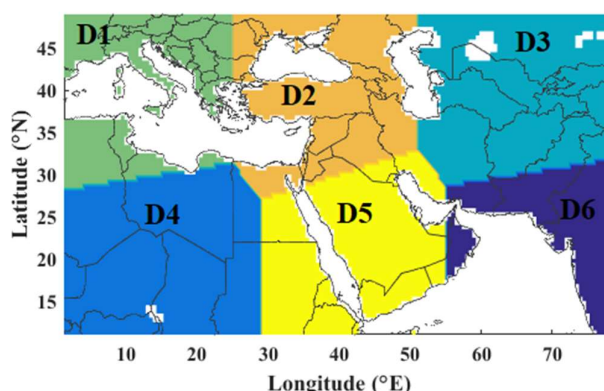
مورد مطالعه شامل نواحی خشکی شمال دریای مدیترانه، ترکمنستان، تاجیکستان و نواحی حاشیه دریای خزر در ایران، تغییرات فصلی دما (شکل‌های ۴-ج، و، ط، ل) تأثیر بیشتری در چرخه فصلی شار CO_2 دارد به طوری که با کاهش دما و سرد شدن هوا در فصول زمستان و پاییز، CO_2 میزان شار CO_2 مثبت است و این نواحی چشمۀ هستند و با گرم‌تر شدن هوا در فصول بهار و تابستان، این نواحی به صورت چاهه CO_2 عمل می‌کنند. به طور کلی، عربستان سعودی و نواحی شمالی آفریقا در تمام فصول سال چشمۀ ضعیف CO_2 هستند. در فصل بهار (پاییز) نسبت به فصل تابستان (زمستان)، نواحی شمالی، چاهه (چشمۀ) ضعیف‌تری هستند. با افزایش بارندگی در نواحی غربی هند و عرض‌های بین ۱۰ تا ۱۵ درجه شمالی آفریقا در فصول تابستان و پاییز (شکل‌های ۴-ب، ه، ح، ک)، شار CO_2 منفی و این مناطق در فصل‌های یادشده، چاهه CO_2 هستند. در فصل‌های زمستان و بهار، هم‌زمان با افزایش بارندگی و کاهش دما، قسمت‌های غربی و

منفی نشان‌دهنده شار منفی و جذب CO_2 توسط بوم سازگان زمینی است و بوم سازگان زمینی نقش چاهه CO_2 را دارد.

میانگین فصلی شار زمین- جوّ CO_2 در طول دوره ۱۹۸۲-۲۰۱۹ (شکل‌های ۴-الف، د، ز، ی)، چرخه فصلی قوی را در نواحی خشکی شمال دریای مدیترانه نشان می‌دهد. این نواحی در فصل زمستان چشمۀ قوی CO_2 (تا مقدار $430 \text{ g.C/(m}^2.\text{year)}$) و در فصل تابستان $(-750 \text{ g.C/(m}^2.\text{year)}$ چاهه قوی CO_2 (تا مقدار CO_2 است. نواحی غرب هند و شمال آفریقا (جنوب شرقی و جنوب غربی منطقه مورد مطالعه) الگوی فصلی متفاوتی نسبت به مناطق شمالی دریای مدیترانه دارند. غرب هند در تمام فصول سال به جز فصل بهار، چاهه CO_2 است. عرض‌های بین ۱۰ تا ۱۵ درجه شمالی در آفریقا، در فصول زمستان و بهار، چشمۀ CO_2 (تا $300 \text{ g.C/(m}^2.\text{year}$) و در تابستان و پاییز، چاهه CO_2 (تا $-200 \text{ (m}^2.\text{year})$ است. در مناطق شمالی منطقه



شکل ۴. میانگین بلندمدت (۱۹۸۲-۲۰۱۹) چرخه فصلی شار جوّ- خشکی CO_2 (الف، د، ز، ی)، بارندگی (ب، چ، ک) و دما (ج، و، ط، ل). مقادیر بارندگی بیشتر از ۴۰۰ mm با قرمز پررنگ نشان داده شده است. بیشترین مقدار بارندگی، ۱۰۰۰ mm در نواحی ساحلی غرب هند است.



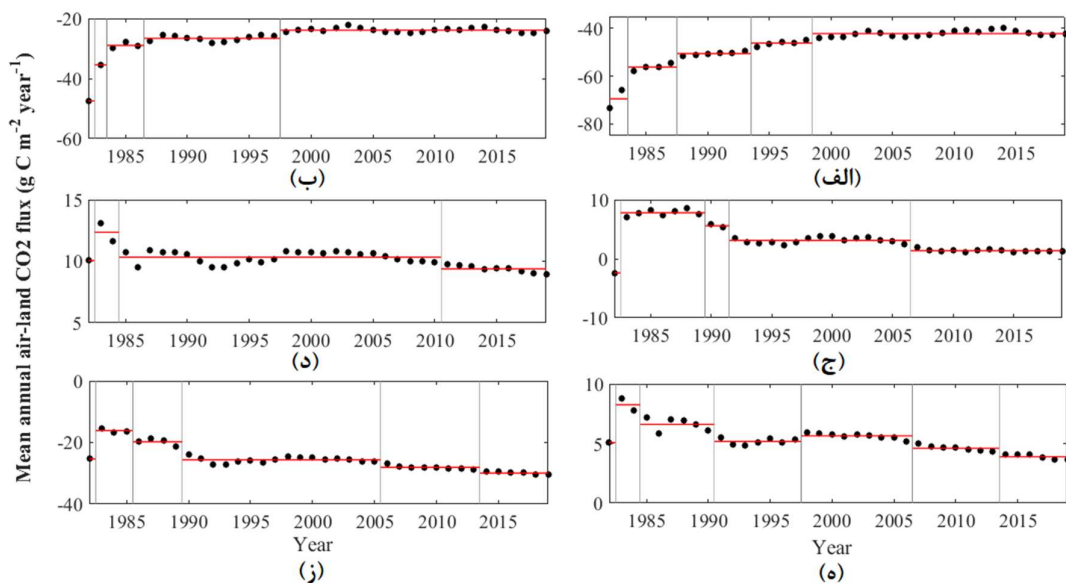
شکل ۵. تقسیم‌بندی منطقه مورد مطالعه بر اساس داده‌های میانگین شار جوّ- خشکی CO_2 بر مبنای مشاهدات در دوره ۱۹۸۲-۲۰۱۹ با استفاده از تحلیل k-Means خوشبای

تابستان با افزایش دما، چشمی ضعیفتر CO_2 هستند. در چرخه فصلی بارندگی (شکل‌های ۴- ب، چ، ک)،

جنوب غربی ایران و پاکستان چاهه CO_2 هستند. ایران، پاکستان و افغانستان در فصل پاییز چشمی CO_2 و در فصل

مدیترانه؛ خوش D2، مناطق خشکی بین قسمت شرقی دریای مدیترانه و دریای سیاه و غرب دریای خزر؛ خوش D3، قسمت شرقی ایران، افغانستان، ترکمنستان و تاجیکستان؛ خوش D4، قسمت‌های غربی و مرکزی آفریقا؛ خوش D5، عربستان سعودی، جنوب غرب ایران و نواحی خشکی در غرب دریای سرخ و در نهایت، دامنه D6، نواحی جنوب شرقی ایران، جنوب پاکستان و قسمت‌های غربی هند را پوشش داده‌اند.

مقادیر بارندگی بیش از ۴۰۰ mm با قرمز پرنگ نشان داده شده است. بیشترین مقدار بارندگی، ۱۰۰۰ mm و متعلق به نواحی ساحلی غرب هند در فصل تابستان است. نتایج خوشبندی به روش k-Means برای داده‌های میانگین شار جو-خشکی CO_2 بر مبنای مشاهدات در طول دوره مورد مطالعه در شکل ۵ نشان داده شده است. منطقه مورد مطالعه بر اساس رفتار شار CO_2 بین جو و خشکی به شش خوش تقسیم شده است. خوش D1، نواحی خشکی در شمال و جنوب قسمت‌های غربی دریای نواحی خشکی در شمال و جنوب قسمت‌های غربی دریای



شکل ۶. میانگین سالانه شار جو-خشکی CO_2 داده‌های مبتنی بر مشاهدات برای ناحیه‌های (الف) D1 (ب) D2 (ج) D3 (د) D4 (ه) D5 (ز) D6 منحنی‌های قرمز معرف تغییرات در مقدار میانگین شار جو-خشکی CO_2 هستند.

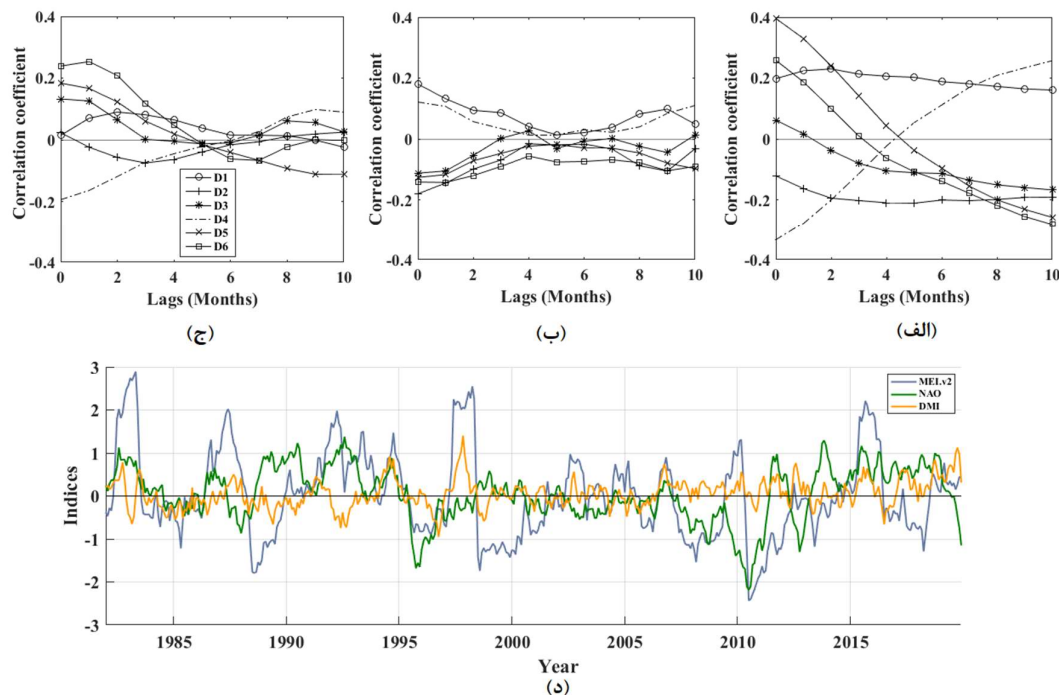
منحنی‌های قرمز نشان‌دهنده تغییرات در مقدار میانگین هستند. با توجه به نتایج، پهنه D1 به صورت میانگین در تمام سال‌ها چاهه CO_2 است و در طول زمان از شدت این چاهه کاسته شده است. روند کاهشی در جذب CO_2 در منطقه D2 در تمام سال‌های مورد مطالعه مشهود است و این ناحیه به صورت میانگین در تمام سال‌ها چاهه CO_2 بوده است. پهنه D3 در تمام سال‌ها به جز در سال ۱۹۸۲، از نظر میانگین مکانی و سالانه، چشمته CO_2 است و شدت

در سالیان متتمادی، تغییر کاربری اراضی، میزان گسیل CO_2 انسان‌ساخت، متغیرهای اقلیمی و نوسانات بزرگ مقیاس جوی-اقیانوسی به تغییرپذیری سالانه در شار جو-خشکی CO_2 منجر شده است. برای بررسی تغییرپذیری سالانه در شار جو-خشکی CO_2 بر مبنای مشاهدات Jena (s81oc_v2021_daily) حاصل از CarboScope، میانگین سالانه مربوط به میانگین مکانی هر خوش در شکل ۶ ارائه شده است. در این شکل

(شکل ۷-ب) و شاخص DMI (شکل ۷-ج) پرداخته شده است. تأخیر زمانی تا ده ماه فرض شده است. با توجه به شکل ۷-الف، همبستگی تغییرپذیری شار جوّ-خشکی D6 با شاخص MEI.v2، در خوشهای D1، D5 و CO₂ بین ۰/۲۰ تا ۰/۴۰ و در خوشه D4 برابر ۰/۳۲ است. همبستگی این شاخص با شار CO₂ در دیگر مناطق ناچیز است. شار CO₂ در مناطق D1 و D4 با شاخص NAO همبستگی مثبت بین ۰/۱۰ تا ۰/۲۰ دارد و در مناطق D2، D3، D5 و D6 همبستگی آن بین ۰/۱۰ تا ۰/۲۰ است (شکل ۷-ب). بین شار CO₂ و شاخص DMI در ناحیه D4 منطقه مورد مطالعه، همبستگی منفی ۰/۱۹ دیده می‌شود. این همبستگی در مناطق D3، D5 و D6 مثبت و بین ۰/۱۵ تا ۰/۲۵ است و در دیگر نواحی نزدیک به صفر است (شکل ۷-ج).

آن، روند کاهشی دارد. نواحی خشکی موجود در خوشهای D4 و D5 در تمام سال‌ها به صورت میانگین، چشمی CO₂ هستند و در گسیل CO₂ روند کاهشی دارند. از طرف دیگر، دامنه D6 که شامل نواحی جنوب شرقی ایران، جنوب پاکستان و قسمت‌های غربی هند است، از نظر میانگین مکانی و سالانه، چاهه CO₂ محسوب می‌شود. شدت این چاهه در طول دوره مورد مطالعه افزایش یافته است.

برای بررسی همبستگی و ارتباط بین نوسانات بزرگ‌مقیاس جوّی-آقیانوسی و تغییرپذیری شار جوّ-خشکی CO₂ به بررسی ضریب همبستگی هم‌زمان و همچنین میزان همبستگی با تأخیر زمانی بین PC1 مربوط به EOF1 شار جوّ-خشکی CO₂ در هر خوشه و شاخص‌های MEI.v2 (شکل ۷-الف)، شاخص NAO



شکل ۷ ضریب همبستگی با تأخیر زمانی بین PC1 مربوط به شار CO₂ هر خوشه (D1، D2، ...، D6) با (الف) شاخص MEI.v2 (ب) شاخص NAO (ج) شاخص DMI. (د) شاخص‌های MIEv.2 NAO با خط آبی‌رنگ، NAO با خط سبزرنگ و DMI با خط زردرنگ در طول دوره ۱۹۸۲ تا ۲۰۱۹ نشان داده شده‌اند. برای هموارسازی شاخص NAO از میانگین متحرک دوازدهماهه استفاده شده است.

(کاهش) و در فاز منفی NAO کاهش (افزایش) می‌یابد. چشمee (چاهه) CO₂ در نواحی D5 و D3 (ناحیه D6) منطقه مورد مطالعه در فاز مثبت NAO کاهش (افزایش) و در فاز منفی NAO افزایش (کاهش) می‌یابد.

۵ بحث و نتیجه‌گیری

شار کربن زمینی بیشترین تنوع را در میان اجزای چرخه جهانی کربن و بیشترین اثر را در تغییرات زمانی نرخ رشد CO₂ جوی دارد (مارکولا و همکاران، ۲۰۱۷)؛ بنابراین بررسی متغیرهای زیستمحیطی و مطالعه روند بودجه کربن زمینی برای پیش‌بینی مسیرهای آینده در صد CO₂ موجود در هوا و غلظت‌های جوی ضروری است. در این پژوهش به بررسی تغییرات مکانی و زمانی شار جوی خشکی CO₂ در دوره ۱۹۸۲ تا ۲۰۱۹ در مناطق خشکی غرب آسیا و مناطق اطراف دریای مدیترانه پرداخته شده است. بر اساس میانگین بلندمدت (۱۹۸۲-۲۰۱۹)، مناطق شمالی دریای مدیترانه CO₂ g.C/(m².year) (-۱۱۴) و غرب هند (CO₂ g.C/(m².year) (-۷۰)، چاهه CO₂ و نواحی شمال شرقی منطقه مورد مطالعه شامل افغانستان، ترکمنستان و تاجیکستان و مناطق شمالی آفریقا، چشمee همچنین نواحی مرکزی ایران و عربستان سعودی، چشمee ضعیف CO₂ (بین CO₂ g.C/(m².year) (۱۰ تا ۵۰) هستند. می‌شوند.

در نواحی شمالی منطقه مورد مطالعه (شامل مناطق خشکی شمال دریای مدیترانه، ترکمنستان، تاجیکستان و نواحی حاشیه دریای خزر در ایران)، دما نفیش مهم‌تری در چرخه فصلی شار CO₂ دارد. این نواحی در فصول سرد سال چشمee CO₂ هستند. با گرم شدن هوا در فصول تابستان و بهار و افزایش رشد گیاهان و شاخص سطح برگ، جذب CO₂ در این نواحی افزایش می‌یابد و چاهه CO₂ می‌شوند. در نواحی غربی هند و عرض‌های بین ۱۰ تا

در شکل ۷-د برای مشاهده تغییر فاز نوسانات بزرگ- مقیاس جوی- اقیانوسی در دوره ۱۹۸۲ تا ۲۰۱۹ شاخصهای MIEv.2 با خط آبی‌رنگ، NAO با خط سبزرنگ و DMI با خط زردرنگ نشان داده شده‌اند. اعداد مثبت در نمودار نشان‌دهنده فاز مثبت و اعداد منفی بیانگر فاز منفی الگوی دورپیوند موردنظر است. برای هموارسازی شاخص NAO از میانگین متحرک دوازده- ماهه استفاده شده است (جونز و همکاران، ۱۹۹۷). با ملاحظه نتایج موجود در شکل‌های ۶ و ۷ می‌توان نتیجه گرفت همبستگی مثبت بین شاخص MEI.v2 مرتبط با الینو/ نوسانات جنوبی (ENSO) است. تغییرپذیری شار جوی- خشکی CO₂ نشان می‌دهد در شرایط الینو (فاز مثبت و گرم انسو) از میزان جذب و چاهه CO₂ در نواحی خشکی شمال دریای مدیترانه (D1) و غرب هند، جنوب شرق ایران و پاکستان (D6) کاسته می‌شود که می‌تواند به علت کاهش در بارندگی در شرایط الینو در این نواحی باشد. در شرایط لانینو (فاز منفی و سرد انسو) در این نواحی میزان جذب افزایش پیدا می‌کند و چاهه قوی‌تری می‌شوند. همبستگی منفی تغییرپذیری شار جوی- خشکی CO₂ با الینو/ نوسانات جنوبی و نوسانات دوقطبی اقیانوس هند نشان می‌دهد در شرایط الینو و IOD مثبت، گسیل CO₂ در ناحیه D4 (قسمت‌های غربی و مرکزی آفریقا در منطقه مورد مطالعه) کاهش پیدا می‌کند و این ناحیه به سمت چاهه CO₂ شدن پیش می‌رود. این ناحیه در شرایط لانینو و IOD منفی، چشمee CO₂ قوی‌تری می‌شود. همچنین در فاز مثبت CO₂، چاهه CO₂ در خوشه D3 (شامل قسمت شرقی ایران، افغانستان، ترکمنستان و تاجیکستان) و خوشه D6 (شامل نواحی جنوب شرقی ایران، جنوب پاکستان و قسمت‌های غربی هند) ضعیف‌تر می‌شود و در فاز منفی IOD، میزان جذب در این نواحی افزایش پیدا می‌کند. چشمee (چاهه) CO₂ در ناحیه D4 منطقه مورد مطالعه در فاز مثبت NAO افزایش

دما بر تغییرات شار جوّ- خشکی CO_2 در منطقه غرب آسیا و نواحی اطراف مدیترانه تأثیر بگذاردند. در حال حاضر، جنگل کاری، راه حلی برای کاهش CO_2 جوّ است (پلاتینیگا و وو، ۲۰۰۳ و تاسونه و همکاران، ۲۰۰۴). مزایای جنگل کاری، هم از نظر فرآورده‌های بوم‌سازگانی (مانند چوب و سوخت‌های زیستی) و هم از نظر خدمات (مانند تنظیم آب و هوای تنوع زیستی) به خوبی شناخته شده است. از طرف دیگر، به دلیل ذات غیرخطی فرایندهای زیستی، کاشت جنگل‌ها ممکن است همیشه با منفعت اقلیمی همراه نباشد و می‌تواند به عوامل محیطی مختلف و تصمیماتی بستگی داشته باشد که جهت مدیریت زمین گرفته می‌شود. این موضوع به تحلیل قوی دینامیک جنگل در مدل‌های پوشش گیاهی و اقلیمی نیاز دارد (بالا و همکاران، ۲۰۰۷؛ بونان، ۲۰۰۸؛ آرورا و مونتینیگرو، ۲۰۱۱؛ اندرسون- تیکسیرا و همکاران، ۲۰۱۲؛ دواراجو و همکاران، ۲۰۱۵؛ لاگه و سوان، ۲۰۱۶ و میکلابی و همکاران، ۲۰۱۷).

قدرتانی

از مؤسسه MPI Biogeochemistry Jena http://www.bgc-jena.mpg.de/CarboScope/ وبگاه قدردانی می‌شود. همچنین از آزمایشگاه علوم فیزیکی NOAA/ESRL/PSL داده‌های جهت بارگذاری داده‌های باران و دما در وبگاه https://www.psl.noaa.gov/ سپاسگزاری می‌شود.

منابع

- Ahlström, A., Raupach, M. R., Schurgers, G., et al., 2015, The dominant role of semi-arid ecosystems in the trend and variability of the land CO_2 sink: Science, 348, 895-899.
 Anderegg, W. R., Ballantyne, A. P., Smith, W. K., et al., 2015, Tropical nighttime warming as a dominant driver of variability in the terrestrial

۱۵ درجه شمالی آفریقا (غرب ایران) در فصول تابستان و پاییز (زمستان و بهار)، هم‌زمان با افزایش بارندگی در این نواحی، شار CO_2 منفی است و این نواحی چاهه CO_2 هستند. در طول دوره‌های بارندگی فراوان، مواد مغذی بیشتری در خاک موجود است که به جذب سریع تر و کارآمدتر گیاهان و افزایش رشد و بهره‌وری برگ منجر می‌شود (هولشووف و همکاران، ۲۰۱۳ و گی و پاورس، ۲۰۱۴). عرض‌های بین ۱۰ تا ۱۵ درجه شمالی آفریقا در فصول زمستان و بهار، هم‌زمان با کاهش بارندگی در این نواحی، چشمۀ CO_2 هستند که می‌تواند به علت کاهش شاخص سطح برگ به دلیل از دادن برگ در دوره کمبود بارندگی باشد. در فصول خشک، برگ‌ها پیر می‌شوند و جذب CO_2 به حداقل می‌رسد (پولتر و همکاران، ۲۰۱۴ و آندرگ و همکاران، ۲۰۱۵).

بررسی روند دهه‌ای به روشن حداقل مربوط نشان داد در نواحی شمالی دریای مدیترانه (قسمت‌های غربی هند) که به صورت متوسط سالانه، چاهه CO_2 هستند، در طول دوره مورد مطالعه شدت جذب با روندی تا مقدار $g.C/(m^2.year.decade)$ (افزایش) یافته است. همچنین در نواحی مرکزی (شامل ایران، عربستان و قسمت‌های شمالی آفریقا)، شمال شرقی (شامل افغانستان، ترکمنستان و تاجیکستان) و جنوب غربی (شامل نواحی مرکزی آفریقا) منطقه مورد مطالعه که به صورت متوسط سالانه، چشمۀ CO_2 هستند، به ترتیب با $-2 g.C/(m^2.year.decade)$ روندی تا مقدار $-4 g.C/(m^2.year.decade)$ ، $-4 g.C/(m^2.year.decade)$ ، $-10 g.C/(m^2.year.decade)$ از میزان گسیل کاسته شده است.

همبستگی موجود بین نوسانات بزرگ مقیاس جوّ- اقیانوسی و تغییرات شار جوّ- خشکی CO_2 نشان‌دهنده ارتباط بین آنها است؛ یعنی نوسانات بزرگ مقیاس جوّ- اقیانوسی می‌توانند با کنترل متغیرهای اقلیمی مانند بارش و

- carbon sink: Proceedings of the National Academy of Sciences, 112, 15591-15596.
- Anderson-Teixeira, K. J., Snyder, P. K., Twine, T. E., Cuadra, S. V., Costa, M. H., and DeLucia, E. H., 2012, Climate-regulation services of natural and agricultural ecoregions of the Americas: *Nature Climate Change*, 2, 177–181.
- Arora, V. K., and Montenegro, A., 2011, Small temperature benefits provided by realistic afforestation efforts: *Nature Geoscience*, 4, 514–518.
- Arthur, D., and Vassilvitskii, S., 2006, k-means++: The Advantages of Careful Seeding: *Proceedings of the eighteenth annual ACM-SIAM symposium on Discrete algorithms*, 1027-1035, Philadelphia, PA, USA, Society for Industrial and Applied Mathematics.
- Bala, G., Caldeira, K., Wickett, M., Phillips, T. J., Lobell, D. B., Delire, C., and Mirin, A., 2007, Combined climate and carbon-cycle effects of large-scale deforestation: *Proceedings of the National Academy of Sciences of the United States of America*, 104, 6550–6555.
- Belda, M., Holtanová, E., Halenka, T., and Kalvová, J., 2014, Climate classification revisited: from Köppen to Trewartha: *Climate Research*, 59(1), 1–13.
- Bonan, G. B., 2008, Forests and climate change: Forcings, feedbacks, and the climate benefits of forests: *Science*, 320, 1444–1449.
- BP, 2019, Statistical Review of World Energy, Available at: <https://www.bp.com/en/global/corporate/energy-economics/statistical-review-of-world-energy.html>, last access June 2019.
- Chandra, N., Patra, P. K., Niwa, Y., et al., 2021, Estimated regional CO₂ flux and uncertainty based on an ensemble of atmospheric CO₂ inversions: *Atmospheric Chemistry and Physics Discussions*, 1-50.
- Ciais, P., Sabine, C., Bala, G., Bopp, L., et al., 2013, Carbon and other biogeochemical cycles, in climate change 2013: The Physical Science Basis: Contribution of working group I to the fifth assessment report of the intergovernmental panel on climate change, edited by Intergovernmental Panel on Climate Change, Cambridge University Press, Cambridge, UK, 465–570.
- Cleverly, J., Eamus, D., Van Gorsel, E., et al., 2016, Productivity and evapotranspiration of two contrasting semiarid ecosystems following the 2011 global carbon land sink anomaly: *Agricultural and Forest Meteorology*, 220, 151-159.
- Cox, P. M., Betts, R. A., Jones, C. D., Spall, S. A., and Totterdell, I. J., 2000, Acceleration of global warming due to carbon-cycle feedbacks in a coupled climate model: *Nature*, 408, 184-187.
- Cramer, W., Guiot, J., Fader, M., et al., 2018, Climate change and interconnected risks to sustainable development in the Mediterranean: *Nature Climate Change*, 8(11), 972-980.
- Devaraju, N., Bala, G., and Nemani, R., 2015, Modelling the influence of land-use changes on biophysical and biochemical interactions at regional and global scales: *Plant Cell Environ.*, 38, 1931–1946.
- Slugokenky, E., and Tans, P., 2020, Trends in atmospheric carbon dioxide: National Oceanic and Atmospheric Administration, Earth System Research Laboratory (NOAA/ESRL), available at: <http://www.esrl.noaa.gov/gmd/ccgg/trends/global.html>, last access: 16 November 2020.
- Fan, Y., and van den Dool, H., 2008, A global monthly land surface air temperature analysis for 1948-present, *Journal of Geophysical Research*, 113, D01103, doi:10.1029/2007JD008470.
- Follett, R., Mooney, S., Morgan, J., et al., 2011, Carbon sequestration and greenhouse gas fluxes in agriculture: challenges and opportunities: Council for Agricultural Science and Technology (CAST), Ames.
- Friedlingstein, P., Houghton, R. A., Marland, G., et al., 2010, Update on CO₂ emissions: *Nature Geoscience*, 3, 811-812.
- Friedlingstein, P., O'sullivan, M., Jones, M. W., et al., 2020, Global carbon budget 2020: *Earth System Science Data*, 12, 3269-3340.
- Gauss, C. F., 2014, *Theoria combinationis observationum erroribus minimis obnoxiae*: Werke, 4, 1801.
- Gei, M. G., and Powers, J. S., 2014, Nutrient cycling in tropical dry forests, Tropical dry forests in the Americas: Ecology, Conservation, and Management, 141-156.
- Gifford, D., Marland, G., Boden, T., and Andres, R., 2019, Global, regional, and national fossil-fuel CO₂ emissions: Carbon Dioxide Information Analysis Center at Appalachian State University, Boone North Carolina, available at: <https://energy.appstate.edu/research/work-areas/cdiac-appstate>, last access: 27 September 2019.
- Greene, C. A., Thirumalai, K., Kearney, K. A., et al., 2019, The climate data toolbox for MATLAB: Geochemistry, Geophysics, Geosystems, 20, 3774-3781.
- He, W., Jiang, F., Wu, M., et al., 2022, China's terrestrial carbon sink over 2010–2015

- constrained by satellite observations of atmospheric CO₂ and land surface variables: *Journal of Geophysical Research: Biogeosciences*, 127, e2021JG006644.
- Heimann, M., 1996, The global atmospheric transport model TM2: Technical Report 10, Max-Planck-Institut für Meteorologie, Hamburg, Germany.
- Heimann, M., and Reichstein, M., 2008, Terrestrial ecosystem carbon dynamics and climate feedbacks: *Nature*, 451, 289-292.
- Hulshof, C. M., Martínez-Yrízar, A., Burquez, A., Boyle, B., and Enquist, B. J., 2013, Plant functional trait variation in tropical dry forests: A review and synthesis, in Sánchez-Azofeifa, A., Powers, J. S., Fernandes, G. W., Quesada, M., eds., *Tropical Dry Forests in the Americas: Ecology, Conservation, and Management*: CRC Press, 129-140.
- IPCC. 2021. Summary for policymakers. In V. Masson-Delmotte, P. Zhai, A. Pirani, S. L. Connors, C. Péan, S. Berger, et al. (Eds.), *Climate change 2021: The physical science basis. Contribution of working group I to the sixth assessment report of the intergovernmental panel on climate change*. Cambridge University Press.
- Jacobson, A. R., Schuldt, K. N., Miller, J. B., et al., 2020, CarbonTracker CT2019B: NOAA Global Monitoring Laboratory, <https://doi.org/10.25925/20201008>.
- Janhäll, S., 2015, Review on urban vegetation and particle air pollution Deposition and dispersion: *Atmospheric Environment*, 105, 130-137.
- Janssens, I. A., Dore, S., Epron, D., et al., 2003, Climatic influences on seasonal and spatial differences in soil CO₂ efflux, in *Fluxes of Carbon, Water and Energy of European Forests*: Springer, Berlin, Heidelberg, 233-253.
- Johnson, M. T., and Liss, P. S., 2014, Ocean-atmosphere interactions of gases and particles: Springer Nature.
- Jones, P. D., Jónsson, T., and Wheeler, D., 1997, Extension to the North Atlantic Oscillation using early instrumental pressure observations from Gibraltar and south-west Iceland: *International Journal of Climatology, A Journal of the Royal Meteorological Society*, 17(13), 1433-1450.
- Joos, F., and Spahni, R., 2008, Rates of change in natural and anthropogenic radiative forcing over the past 20,000 years: *Proceedings of the National Academy of Sciences*, 105, 1425-1430.
- Kondo, M., Sitch, S., Ciais, P., et al., 2022, Are land-use change emissions in Southeast Asia decreasing or increasing?: *Global Biogeochemical Cycles*, e2020GB006909.
- Lague, M. M., and Swann, A. L. S., 2016, Progressive midlatitude afforestation: Impacts on clouds, global energy transport, and precipitation: *Journal of Climate*, 29, 5561–5573.
- Lavigne, M. B., Foster, R. J., and Goodine, G., 2004, Seasonal and annual changes in soil respiration in relation to soil temperature, water potential and trenching: *Tree Physiology*, 24, 415-424.
- Lelieveld, J., Hadjinicolaou, P., Kostopoulou, E., et al., 2012, Climate change and impacts in the Eastern Mediterranean and the Middle East: *Climatic Change*, 114(3), 667-687.
- Lelieveld, J., Proestos, Y., Hadjinicolaou, P., Tanarhte, M., Tyrlis, E., and Zittis, G., 2016, Strongly increasing heat extremes in the Middle East and North Africa (MENA) in the 21st century: *Climatic Change*, 137(1), 245-260.
- Lionello, P., Malanotte-Rizzoli, P., Boscolo, R., et al., 2006, The Mediterranean climate: an overview of the main characteristics and issues: *Developments in Earth and Environmental Sciences*, 4, 1-26.
- Liu, J., Baskaran, L., Bowman, K., et al., 2021, Carbon monitoring system flux net biosphere exchange 2020 (CMS-flux NBE 2020): *Earth System Science Data*, 13, 299-330.
- Lloyd, S., 1982, Least squares quantization in PCM: *IEEE Transactions on Information Theory*, 28, 129-137.
- Lombardozzi, D., Bonan, G. B., and Nychka, D. W., 2014, The emerging anthropogenic signal in land-atmosphere carbon-cycle coupling: *Nature Climate Change*, 4, 796-800.
- Ma, Q., 2008, The status and trends of forests and forestry in West Asia, Subregional Report of the Forestry Outlook Study for West and Central Asia: *Forestry Policy and Institutions Working Paper* (FAO).
- Ma, X., Huete, A., Cleverly, J., et al., 2016, Drought rapidly diminishes the large net CO₂ uptake in 2011 over semi-arid Australia: *Scientific Reports*, 6, 1-9.
- Marcolla, B., Rödenbeck, C., and Cescatti, A., 2017, Patterns and controls of inter-annual variability in the terrestrial carbon budget: *Biogeosciences*, 14(16), 3815-3829.
- Mendes, K. R., Campos, S., da Silva, L. L., et al., 2020, Seasonal variation in net ecosystem CO₂ exchange of a Brazilian seasonally dry tropical forest: *Scientific Reports*, 10, 1-16.
- Mykleby, P. M., Snyder, P. K., and Twine, T. E., 2017, Quantifying the trade-off between carbon sequestration and albedo in midlatitude and high-latitude North American forests: *Geophysical Research Letters*, 44, 2493-2501.
- Nowak, D. J., Hirabayashi, S., Bodine, A., and

- Greenfield, E., 2014, Tree and forest effects on air quality and human health in the United States: *Environmental Pollution*, 193, 119-129.
- Orgiazzi, A., Bardgett, R. D., Barrios, E., et al., 2016, *Global Soil Biodiversity Atlas*: European Commission, Publications Office of the European Union, Luxembourg.
- Plantinga, A. J., and Wu, J. J., 2003, Co-benefits from carbon sequestration in forests: Evaluating reductions in agricultural externalities from an afforestation policy in Wisconsin: *Land Economics*, 79, 74-85.
- Poulter, B., Frank, D., Ciais, P., et al., 2014, Contribution of semi-arid ecosystems to interannual variability of the global carbon cycle: *Nature*, 509, 600-603.
- Raich, J. W., and Potter, C. S., 1995, Global patterns of carbon dioxide emissions from soils: *Global Biogeochemical Cycles*, 9, 23-36.
- Raich, J. W., and Schlesinger, W. H., 1992, The global carbon dioxide flux in soil respiration and its relationship to vegetation and climate: *Tellus B*, 44, 81-99.
- Rawlins, M. A., McGuire, A. D., Kimball, J. S., et al., 2015, Assessment of model estimates of land-atmosphere CO_2 exchange across Northern Eurasia: *Biogeosciences*, 12, 4385-4405.
- Rödenbeck, C., Houweling, S., Gloor, M., and Heimann, M. 2003. CO₂ flux history 1982–2001 inferred from atmospheric data using a global inversion of atmospheric transport. *Atmospheric Chemistry and Physics*, 3(6), 1919-1964.
- Rödenbeck, C., 2005, Estimating CO_2 sources and sinks from atmospheric mixing ratio measurements using a global inversion of atmospheric transport: Technical Report 6, Max Planck Institute for Biogeochemistry, Jena.
- Schimel, D. S., 1995, Terrestrial ecosystems and the carbon cycle: *Global Change Biology*, 1, 77-91.
- Schneider, U., Becker, A., Finger, P., Meyer-Christoffer, A., Rudolf, B., and Ziese, M., 2011, GPCC Full Data Reanalysis Version 6.0 at 1.0°: Monthly Land-Surface Precipitation from Rain-Gauges built on GTS-based and Historic Data, doi: 10.5676/DWD_GPCC/FD_M_V7_100.
- Sehmel, G. A., 1980, Particle and gas dry deposition: a review: *Atmospheric Environment*, 14, 983-1011.
- Tassone, V. C., Wesseler, J., and Nesci, F. S., 2004, Diverging incentives for afforestation from carbon sequestration: An economic analysis of the EU afforestation program in the south of Italy: *Forest Policy and Economics*, 6, 567-578.
- UNFCCC, 2019, National Inventory Submissions 2019: United Nations Framework Convention on Climate Change, available at: <https://unfccc.int/process-and-meetings/transparency-and-reporting/reporting-and-review-under-the-convention/greenhouse-gas-inventories-annex-i-parties/national-inventory-submissions-2019>, accessed June 2019.
- Waha, K., Krummenauer, L., Adams, S., et al., 2017, Climate change impacts in the Middle East and Northern Africa (MENA) region and their implications for vulnerable population groups: *Regional Environmental Change*, 17(6), 1623-1638.
- Zhang, Z., and Moore, J. C., 2015, *Mathematical and Physical Fundamentals of Climate Change*: Elsevier.
- Zhu, Z., Piao, S., Xu, Y., Bastos, A., Ciais, P., and Peng, S., 2017, The effects of teleconnections on carbon fluxes of global terrestrial ecosystems: *Geophysical Research Letters*, 44, 3209-3218.
- Zittis, G., Almazroui, M., Alpert, P., et al., 2022, Climate change and weather extremes in the Eastern Mediterranean and Middle East: *Reviews of Geophysics*, e2021RG000762.
- Zittis, G., and Hadjinicolaou, P., 2017, The effect of radiation parameterization schemes on surface temperature in regional climate simulations over the MENA-CORDEX domain: *International Journal of Climatology*, 37(10), 3847-3862.
- Zittis, G., Hadjinicolaou, P., Klangidou, M., Proestos, Y., and Lelieveld, J., 2019, A multi-model, multi-scenario, and multi-domain analysis of regional climate projections for the Mediterranean: *Regional Environmental Change*, 19(8), 2621-2635.

Assessment of spatio-temporal variation of net terrestrial ecosystem CO₂ exchange over west Asia and around the Mediterranean sea (1982-2019)

Mona Zarghamipour ¹ and Hossein Malakooti ^{2*}

¹ Ph.D. Candidate, Department of Marine and Atmospheric Science (non-Biologic), Faculty of Marine Science and Technology, University of Hormozgan, Bandar Abbas, Iran

² Professor, Department of Marine and Atmospheric Science (non-Biologic), Faculty of Marine Science and Technology, University of Hormozgan, Bandar Abbas, Iran

(Received: 25 July 2022, Accepted: 06 November 2022)

Summary

The terrestrial ecosystem plays an important role in the carbon cycle and each year absorbs more than a quarter of human carbon emissions, which is called terrestrial carbon sinks. In the last few decades, carbon sources and sinks in West Asia and around the Mediterranean Sea have changed due to drastic changes in land cover due to economic development and urbanization growth. In the present study, using the observations-based CO₂ flux data of Jena CarboScope Institute, temperature and precipitation data, the seasonal and annual pattern of CO₂ exchanges during the period 1982-2019, has been investigated, as well as the role of teleconnection patterns on the CO₂ flux fluctuations was analyzed. The results showed that on long term average, the land areas of the northern Mediterranean Sea were CO₂ sinks with absorption up to -114 g.C/(m².year) and the amount of CO₂ absorption in this areas have decreased with a trend of up to 5 g.C/(m².year.decade) during the study period. While the CO₂ sinks in the western parts of India (up to -70 g.C/(m².year)) increased with the trend of up to -8 g.C/(m².year.decade). Also, the central regions (including Iran, Saudi Arabia and the northern parts of Africa), the northeast (including Afghanistan, Turkmenistan and Tajikistan) and the southwest (including the central regions of Africa) of the study area, which were the CO₂ sources on average (between 0 to 50 g.C/(m².year)), the intensity of CO₂ emissions has been reduced with a trend of up to -10 g.C/(m².year.decade). Based on the results, in the land areas of the northern Mediterranean Sea, Turkmenistan, Tajikistan and the coastal areas of the Caspian Sea in Iran (western parts of India, western Iran and central Africa) in the study area, seasonal changes in temperature (precipitation) played a more important role in the seasonal cycle of CO₂ exchanges between the atmosphere and the terrestrial ecosystem. The positive correlation between the MEI.v2 index related to El Niño/Southern Oscillation (ENSO) and the variability of the atmosphere-land CO₂ flux showed that in El Niño conditions (positive and warm phase of ENSO) the amount of CO₂ absorption and sink in the land areas of the northern Mediterranean Sea and West India, Southeast Iran and Pakistan decreased, which can be due to the decrease in rainfall in El Niño conditions in these areas. In La Niña conditions (negative and cold phase of ENSO) in these areas, the amount of CO₂ absorption increased and the sinks became stronger. The negative correlation of atmospheric-land CO₂ flux variability with both El Niño/Southern Oscillation and Indian Ocean Dipole Oscillation showed that in El Niño and positive IOD conditions, CO₂ emission decreased in the western and central parts of Africa in the study area, while in La Niña and negative IOD conditions CO₂ emission increased in these regions. Also, in the positive phase of IOD, the CO₂ sink in the eastern part of Iran, Afghanistan, Turkmenistan, Tajikistan, the southeastern regions of Iran, southern Pakistan, and western parts of India became weaker, and in the negative phase of IOD, the amount of CO₂ absorption in these areas increased.

Keywords: Air-land CO₂ exchange, large-scale atmospheric-oceanic fluctuations, precipitation, temperature, trend

*Corresponding author:

malakooti@hormozgan.ac.ir